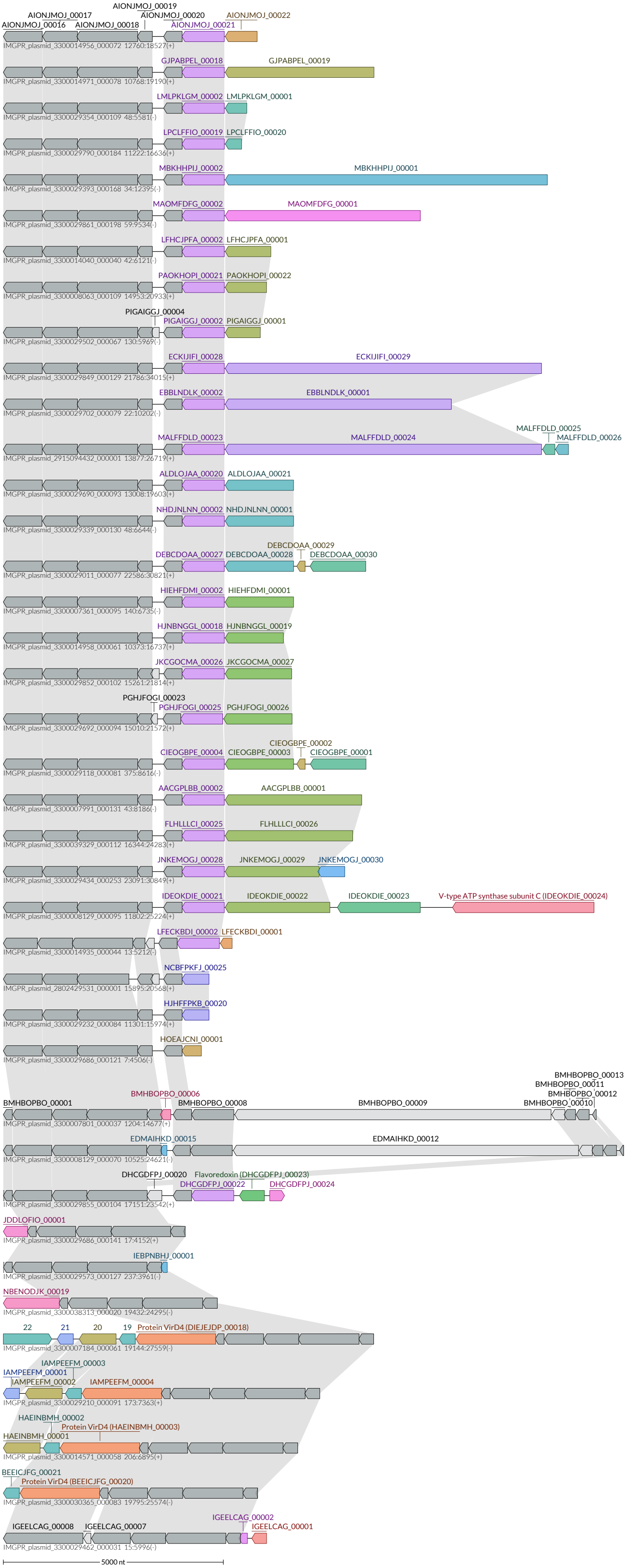
AIONJMOJ_00019
AIONJMOJ_00017
AIONJMOJ_00020
AIONJMOJ_00022
AIONJMOJ_00016
AIONJMOJ_00018
AIONJMOJ_00021
IMGPR_plasmid_3300014956_000072 12760:18527(+)
GJPABPEL_00018
GJPABPEL_00019
IMGPR_plasmid_3300014971_000078 10768:19190(+)
LMLPKLGM_00002
LMLPKLGM_00001
IMGPR_plasmid_3300029354_000109 48:5581(-)
LPCLFFIO_00019
LPCLFFIO_00020
IMGPR_plasmid_3300029790_000184 11222:16636(+)
MBKHHPIJ_00002
MBKHHPIJ_00001
IMGPR_plasmid_3300029393_000168 34:12395(-)
MAOMFDFG_00002
MAOMFDFG_00001
IMGPR_plasmid_3300029861_000198 59:9534(-)
LFHCJPFA_00002
LFHCJPFA_00001
IMGPR_plasmid_3300014040_000040 42:6121(-)
PAOKHOPI_00021
PAOKHOPI_00022
IMGPR_plasmid_3300008063_000109 14953:20933(+)
PIGAIGGJ_00004
PIGAIGGJ_00002
PIGAIGGJ_00001
IMGPR_plasmid_3300029502_000067 130:5969(-)
ECKIJIFI_00028
ECKIJIFI_00029
IMGPR_plasmid_3300029849_000129 21786:34015(+)
EBBLNDLK_00002
EBBLNDLK_00001
IMGPR_plasmid_3300029702_000079 22:10202(-)
MALFFDLD_00025
MALFFDLD_00023
MALFFDLD_00024
MALFFDLD_00026
IMGPR_plasmid_2915094432_000001 13877:26719(+)
ALDLOJAA_00020
ALDLOJAA_00021
IMGPR_plasmid_3300029690_000093 13008:19603(+)
NHDJNLNN_00002
NHDJNLNN_00001
IMGPR_plasmid_3300029339_000130 48:6644(-)
DEBCDOAA_00029
DEBCDOAA_00027
DEBCDOAA_00028
DEBCDOAA_00030
IMGPR_plasmid_3300029011_000077 22586:30821(+)
HIEHFDMI_00002
HIEHFDMI_00001
IMGPR_plasmid_3300007361_000095 140:6735(-)
HJNBNGGL_00018
HJNBNGGL_00019
IMGPR_plasmid_3300014958_000061 10373:16737(+)
JKCGOCMA_00026
JKCGOCMA_00027
IMGPR_plasmid_3300029852_000102 15261:21814(+)
PGHJFOGI_00023
PGHJFOGI_00025
PGHJFOGI_00026
IMGPR_plasmid_3300029692_000094 15010:21572(+)
CIEOGBPE_00002
CIEOGBPE_00004
CIEOGBPE_00003
CIEOGBPE_00001
IMGPR_plasmid_3300029118_000081 375:8616(-)
AACGPLBB_00002
AACGPLBB_00001
IMGPR_plasmid_3300007991_000131 43:8186(-)
FLHLLLCI_00025
FLHLLLCI_00026
IMGPR_plasmid_3300039329_000112 16344:24283(+)
JNKEMOGJ_00028
JNKEMOGJ_00029
JNKEMOGJ_00030
IMGPR_plasmid_3300029434_000253 23091:30849(+)
IDEOKDIE_00021
IDEOKDIE_00022
IDEOKDIE_00023
V-type ATP synthase subunit C (IDEOKDIE_00024)
IMGPR_plasmid_3300008129_000095 11802:25224(+)
LFECKBDI_00002
LFECKBDI_00001
IMGPR_plasmid_3300014935_000044 13:5212(-)
NCBFPKFJ_00025
IMGPR_plasmid_2802429531_000001 15895:20568(+)
HJHFFPKB_00020
IMGPR_plasmid_3300029232_000084 11301:15974(+)
HOEAJCNI_00001
IMGPR_plasmid_3300029686_000121 7:4506(-)
BMHBOPBO_00013
BMHBOPBO_00011
BMHBOPBO_00012
BMHBOPBO_00006
BMHBOPBO_00001
BMHBOPBO_00008
BMHBOPBO_00009
BMHBOPBO_00010
IMGPR_plasmid_3300007801_000037 1204:14677(+)
EDMAIHKD_00015
EDMAIHKD_00012
IMGPR_plasmid_3300008129_000070 10525:24621(-)
DHCGDFPJ_00020
Flavoredoxin (DHCGDFPJ_00023)
DHCGDFPJ_00022
DHCGDFPJ_00024
IMGPR_plasmid_3300029855_000104 17151:23542(+)
JDDLOFIO_00001
IMGPR_plasmid_3300029686_000141 17:4152(+)
IEBPNBHJ_00001
IMGPR_plasmid_3300029573_000127 237:3961(-)
NBENODJK_00019
IMGPR_plasmid_3300038313_000020 19432:24295(-)
22
21
20
19
Protein VirD4 (DIEJEJDP_00018)
IMGPR_plasmid_3300007184_000061 19144:27559(-)
IAMPEEFM_00003
IAMPEEFM_00001
IAMPEEFM_00002
IAMPEEFM_00004
IMGPR_plasmid_3300029210_000091 173:7363(+)
HAEINBMH_00002
Protein VirD4 (HAEINBMH_00003)
HAEINBMH_00001
IMGPR_plasmid_3300014571_000058 206:6895(+)
BEEICJFG_00021
Protein VirD4 (BEEICJFG_00020)
IMGPR_plasmid_3300030365_000083 19795:25574(-)
IGEELCAG_00002
IGEELCAG_00008
IGEELCAG_00007
IGEELCAG_00001
IMGPR_plasmid_3300029462_000031 15:5996(-)
5000 nt